

ОБЪЕДИНЕННЫЙ  
ИНСТИТУТ  
ЯДЕРНЫХ  
ИССЛЕДОВАНИЙ  
ДУБНА

14-88-446

С.Низиол,<sup>1</sup> А.Бомбик,<sup>1</sup> Д.Фрушарт,<sup>2</sup> И.Куш,<sup>3</sup>  
Е.Варчевски<sup>3</sup>

**МАГНИТНАЯ СТРУКТУРА  $\text{Cu}_x \text{Zn}_{1-x} \text{Cr}_2 \text{Se}_4$**

Направлено в Оргкомитет Международной  
конференции по магнетизму, Париж,  
25-29 июля 1988 г.

<sup>1</sup>ИФЯТ ГМА, Краков, ПНР

<sup>2</sup>НЦНИ, Гренобль, Франция

<sup>3</sup>Силезский университет, Катовице, ПНР

**1988**

## ВВЕДЕНИЕ

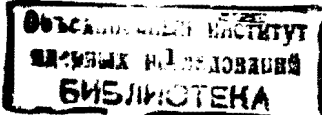
Система шпинели  $\text{Cu}_x \text{Zn}_{1-x} \text{Cr}_2 \text{Se}_4$  проявляет сложные магнитные свойства, которые сильно зависят от концентрации атомов  $\text{Cu}$ . Методом дифракции нейтронов при  $T < T_N = 21$  К была обнаружена в  $\text{ZnCr}_2\text{Se}_4$  гелимагнитная структура. С другой стороны, для  $\text{CuCr}_2\text{Se}_4$  характерна ферромагнитная структура. Теоретический анализ, проведенный в работе /5/, показал, что магнитное упорядочение в этой системе сильно зависит от концентрации  $\text{Cu}$ .  $\text{Cu}$  приводит к появлению ионов  $\text{Cr}^{4+}$ , которые осуществляют двойное обменное магнитное взаимодействие с ионами  $\text{Cr}^{3+}$ . В зависимости от величины  $x$  наблюдаются фазовые превращения; несоизмеримая структура типа простой спирали (для  $0,0 < x \leq 0,05$ ) – ферромагнитная спираль – соизмеримая ферромагнитная структура (для  $x \geq 0,8$ ). Определены магнитные свойства во всем диапазоне измерения концентрации  $\text{Cu}$ . Для  $0,1 \leq x \leq 0,2$  существует резкое увеличение температуры магнитного упорядочения. Она меняется от  $T_N = 21$  К для  $x = 0,1$  до  $T_c \approx 370$  К в случае  $x = 0,2$ . Из формул, приведенных в работе /5/, видно, что углы  $\varphi(x)$  и  $\psi(x)$ , характеризующие коническую спираль, плавно меняются с увеличением  $\text{Cu}$  в этом диапазоне концентрации. Эти количественные расчеты не были проверены из-за нехватки экспериментальных данных. Поэтому экспериментальные исследования этих веществ, а именно структурные и магнитные измерения для определенных составов были целью данной работы.

Порошковые образцы с  $x = 0,02$  и  $x = 0,11$  были приготовлены в виде керамики. Измерения магнитной восприимчивости проводились в слабых постоянных магнитных полях.

## ЭКСПЕРИМЕНТАЛЬНЫЕ РЕЗУЛЬТАТЫ

### Магнитные свойства

Измерения магнитной восприимчивости  $\chi(T)$  для  $\text{Cu}_{0,11} \text{Zn}_{0,89} \text{Cr}_2\text{Se}_4$  были проведены в температурном интервале 7 – 300 К на высокочувствительных магнитных весах типа весов Кана. В /3/ было обнаружено понижение  $T_N$  в магнитном поле для соединения с  $0,0 \leq x \leq 0,1$  и поэтому решено произвести дополнительные измерения намагниченности в условиях образца, охлаждаемого в постоянных полях до  $T = 7$  К. На рис. I приведена температурная зависимость обратной восприимчивос-



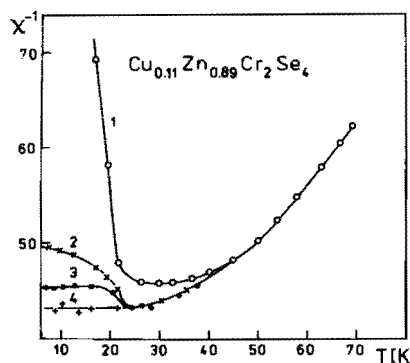


Рис.1. Температурная зависимость магнитной восприимчивости для  $\text{Cu}_{0.11}\text{Zn}_{0.89}\text{Cr}_2\text{Se}_4$ .

ти  $\chi^{-1}(T)$  в диапазоне низких температур с учетом разных величин охлаждаемого поля  $H_C$ . Результаты  $\chi^{-1}(T)$  для  $H_C = 0$  описывает кривая I. В этом случае наблюдается широкий минимум, связанный с магнитным упорядочением. Кривые 2,3,4 описывают  $\chi^{-1}(T)$  для образца, охлаждаемого в полях:  $H_C = 0,034 \text{ T}$ ,  $H_C = 0,058 \text{ T}$  и  $H_C = 0,13 \text{ T}$  соответственно. В случае кривых 2 и 3 измерения были проведены в тех же самых полях без их выключения после охлаждения образца. Для образца, охлаждаемого в поле  $0,13 \text{ T}$ , измерение восприимчивости проводилось в поле  $0,022 \text{ T}$ . Приведенные выше результаты свидетельствуют о сильной зависимости  $\chi^{-1}(T)$  от величины магнитного поля, в котором охлаждался образец. А именно, меняется ход кривых при  $T < T_N$  и можно более точно определить температуру Нееля,  $T_N \sim 21 \text{ K}$ . С увеличением поля  $H_C$  минимум на кривой  $\chi^{-1}(T)$  уменьшается до полного исчезновения в поле  $\sim 0,13 \text{ T}$ . Выше температуры  $40 \text{ K}$  ход кривых  $\chi^{-1}(T)$  не зависит от поля, в котором охлаждается образец. Кроме того, существует постоянный их наклон с температурой. Для этих образцов явного излома на зависимостях  $\chi^{-1}(T)$ , который может быть связан с добавочным магнитным фазовым переходом, обнаружено не было.

#### Магнитная структура

Нейтронографические исследования были проведены при разных температурах: для образца с  $X = 0,02$  при  $4,8 \text{ K}$  и  $80 \text{ K}$ , а для образца с  $X = 0,11$  при  $4,8 \text{ K}$ ,  $9,3 \text{ K}$ ,  $13,9 \text{ K}$ ,  $23 \text{ K}$  и  $295 \text{ K}$ . На нейтронограммах, полученных при низких температурах, кроме основных брэгговских отражений, обусловленных симметрией  $Fd\bar{3}m$ , обнаружены сверхструктурные магнитные рефлексы – сателлиты. Их интенсивность с ростом температуры уменьшается до нуля в точке  $T \sim 21 \text{ K}$ . На рис.2 в виде примера приведена нейтронограмма для  $\text{Cu}_{0.11}\text{Zn}_{0.89}\text{Cr}_2\text{Se}_4$  при  $T = 4,8 \text{ K}$ . Исходя из нейтронографических данных определены параметры кристаллографической структуры. Их значения указывают на существование струк-

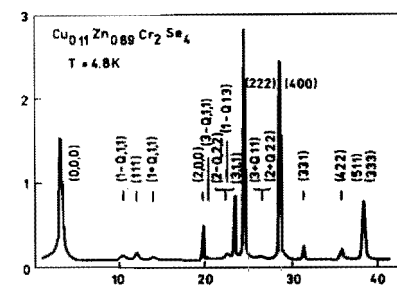


Рис.2. Нейтронограмма  $\text{Cu}_{0.11}\text{Zn}_{0.89}\text{Cr}_2\text{Se}_4$  при  $4,8 \text{ K}$ .

туры типа нормальной шпинели с кислородным параметром  $a = 0,385$  и постоянными решетки  $a = 10,445 \text{ \AA}$  и  $c = 10,432 \text{ \AA}$  при  $T = 4,8 \text{ K}$  для образцов  $X = 0,02$  и  $X = 0,11$  соответственно. Из положения сателлитов структурн. Оказалось, что он параллелен оси типа  $\langle 100 \rangle$ . Для  $\text{Cu}_{0.02}\text{Zn}_{0.98}\text{Cr}_2\text{Se}_4$  при температуре  $4,8 \text{ K}$  существует простая спиральная магнитная структура типа  $\text{ZnCr}_2\text{Se}_4$  <sup>1/1</sup>, для которой:  $Q_x = 0,42$ ,  $\varphi = 38^\circ$ ,  $\mu_{\text{Cr}^{3+}} = 1,75 \mu_B$ . Локализованный магнитный момент вычислялся для магнитного формфактора иона  $\text{Cr}^{3+}$ , определенного Батсоном и Фриманом <sup>16</sup>.

Результаты, полученные для образца с  $X = 0,11$ , носят более сложный характер. Наблюдается уширение некоторых пиков (рис.3 и 4), которые можно разделить на две компоненты. Интенсивность диффузного пика зависит от температуры и остается конечной при  $T = 23 \text{ K}$  (рис.4).

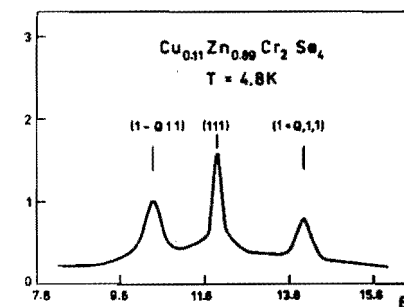


Рис.3. Нейтронограмма  $\text{Cu}_{0.11}\text{Zn}_{0.89}\text{Cr}_2\text{Se}_4$  при  $4,8 \text{ K}$  в области пика (III).

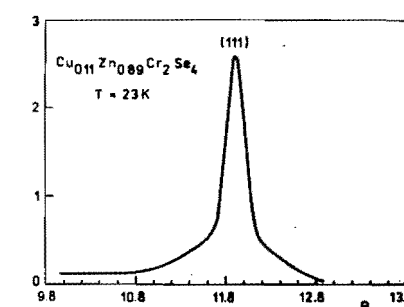


Рис.4. Нейтронограмма  $\text{Cu}_{0.11}\text{Zn}_{0.89}\text{Cr}_2\text{Se}_4$  при  $23 \text{ K}$  в области пика (III).

Мы полагаем, что причина их возникновения связана с наличием упорядочения типа ферроспиральной структуры в областях, размер которых составляет  $\sim 180 \text{ \AA}$ . Рассчитанные параметры приведены в таблице I. Ненулевая интенсивность диффузных пиков выше  $21 \text{ K}$  свидетельствует

о том, что при этой температуре не существует перехода в парамагнитное состояние. При температуре 295 К не наблюдается когерентного магнитного рассеяния нейтронов.

Таблица I.

T K	$Q_x$	$\varphi^\circ$	$\vartheta^\circ$	$\mu_x [\mu_B]$	$\mu_{yz} [\mu_B]$
4,8	0,448	40,3	29	1,75	0,95
9,3	0,447	40,1	29	1,75	0,95
13,9	0,443	39,9	22	1,80	0,75
23				1,85	

При T = 0 K ;  $\varphi = 35^\circ$ ;  $\vartheta = 60^\circ$  /5/.

На основе нейtronографических данных и хода кривых  $\chi^{-1}(T)$  (рис. I), которые подобны наблюдаемым в материалах, образующих магнитные кластерные стекла, можно сделать вывод о том, что шинели  $Cu_xZn_{1-x}Cr_2Se_4$  для  $0,05 \leq x \leq 0,2$  образуют магнитную структуру в виде кластеров.

В заключение можно сказать, что наши экспериментальные результаты не вполне совпадают с количественно рассчитанной в работе /5/ моделью ферроспиральной структуры для этих концентраций Cu.

#### ЛИТЕРАТУРА

1. Akimitsu J., Siratori K., Shirane G., Iizumi M. and Watanabe T. *J.Phys.Soc.Japan* **44** (1979) 172.
2. Yamashita O., Yamaguchi Y., Nakatani I., Watanabe H. and Masumoto K. *J.Phys.Soc.Japan* **46** (1979) 1145.
3. Krok J., Juszczak S., Warczewski J., Mydlarcz T., Bombik A and Byszewski P., Szamraj W. *Phase Transitions* **3** (1983) 105.
4. Krok J., Juszczak S., Warczewski J., Mydlarcz T., Szamraj W., Bombik A., Byszewski P. and Spalek J. *Phase Transitions* **4** (1983) 1.
5. Krok J., Spalek J., Juszczak S. and Warczewski J. *Phys.Rev. B* **28** (1983) 6499.
6. Watson E.R., Freeman A.J. *Acta Cryst.* **14** (1961) 27.

Рукопись поступила в издательский отдел  
23 июня 1988 года.

Низиол С. и др.

14-88-446

Магнитная структура  $Cu_xZn_{1-x}Cr_2Se_4$

На основании проведенных магнитных и нейtronографических исследований для  $Cu_xZn_{1-x}Cr_2Se_4$  при  $x = 0,02$  и  $x = 0,11$  установлено, что для  $x = 0,02$  существует простая спиральная магнитная структура, и коническая — для  $x = 0,11$  при температуре ниже 21К. В случае  $Cu_{0,11}Zn_{0,89}Cr_2Se_4$  коническая структура образуется в виде кластеров. Полученные результаты не вполне совпадают с результатами расчетов, проведенных Кроком и др. в работе /5/ для концентрации  $0,05 \leq x \leq 0,2$ .

Работа выполнена в Лаборатории нейtronной физики ОИЯИ

Препринт Объединенного института ядерных исследований. Дубна 1988

Перевод Т.А.Филимонычевой

Niziol Z. et al.

14-88-446

Magnetic Structure of  $Cu_xZn_{1-x}Cr_2Se_4$

Magnetic and neutron diffraction measurements on  $Cu_xZn_{1-x}Cr_2Se_4$  yielded a simple spiral structure for  $x = 0,02$  and a conical one for  $x = 0,11$  below 21K.  $Cu_{0,11}Zn_{0,89}Cr_2Se_4$  proved to be of the magnetic cluster glass type in contradiction with theoretical predictions of Krok et al. for  $0,05 \leq x \leq 0,2$  /5/.

The investigation has been performed at the Laboratory of Neutron Physics, JINR.